

01;03

Капиллярные колебания и неустойчивость по отношению к поверхностному заряду тонкой пленки вязкой жидкости на твердой подложке

© Д.Ф. Белоножко, А.И. Григорьев, С.О. Ширяева

Ярославский государственный университет,
150000 Ярославль, Россия

(Поступило в Редакцию 16 июня 1997 г.)

При численном анализе дисперсионного уравнения, описывающего капиллярные движения в тонком слое вязкой поверхности заряженной жидкости с учетом влияния флуктуационных сил получено, что критические условия неустойчивости свободной поверхности жидкости при фиксированной толщине d жидкой пленки в области существенного влияния флуктуационных сил ($d < 100$ nm) сильно зависят от волнового числа и не зависят от вязкости жидкости, флуктуационные силы существенно сказываются на величине волнового числа наиболее неустойчивой длины волны и снижают величину инкремента неустойчивости, капиллярные движения жидкости допускают аналогию с гравитационно-капиллярным движением и могут рассматриваться, как флуктуационно-капиллярные.

Неустойчивость заряженной поверхности (неустойчивость Тонкса–Френкеля (НТФ)) тонкой жидкой пленки на твердой подложке встречается во многих академических, технических и технологических задачах: задача об устойчивости водяного слоя на поверхности ледяного ядра (тающей градины) в грозовом облаке или в жидкостном масс-спектрометре вакуумного типа; проблема устойчивости слоя жидкого металла в жидкометаллических источниках ионов, где имеет место электродиспергирование с боковой поверхности иглы эмиттера, по которой подается жидкий металл (см., например, [1–3]). Капиллярные колебания и НТФ жидкости конечной глубины неоднократно исследовались ранее [1–7]. Однако ценность имеющихся результатов, в особенности асимптотических переходов к тонкому слою [7], заметно снижается применительно к пленкам толщины $d \leq 100$ nm. Как показано в [5], для такой пленки необходимо учитывать межмолекулярное взаимодействие жидкости с твердой подложкой, приводящее к возникновению дополнительного, так называемого расклинивающего давления, быстро растущего с утоньшением жидкого слоя $\sim d^{-r}$ ($3 \leq r \leq 4$), обусловленного действием сил флуктуационной природы. Правомерно ожидать изменения критических условий реализации НТФ для такой системы [8]. В имеющихся работах, посвященных НТФ [3,6,7,9], расклинивающим давлением пренебрегалось или же анализ электрогидродинамической неустойчивости проводился на модели идеальной жидкости [8].

1. Будем решать задачу о расчете спектра капиллярных волн на граничащей с вакуумом плоской заряженной поверхности идеально проводящего жидкого слоя толщины d , плотности ρ , вязкости ν , с коэффициентом поверхностного натяжения γ в поле тяжести \mathbf{g} и в электростатическом поле. Верхняя среда обладает диэлектрической проницаемостью ϵ . Напряженность элект-

рического поля \mathbf{E} у поверхности жидкости определяется разностью потенциалов между электродами: нижним, расположенным при $z = -d$, на котором лежит слой жидкости, поддерживающийся при потенциале $\Phi_1 = 0$, и параллельным ему противоэлектродом, отстоящим от поверхности жидкости на b , имеющим потенциал $\Phi_2 = V$.

Пусть в декартовой системе координат с осью z , направленной вертикально в верх $\mathbf{n}_z \parallel -\mathbf{g}$ (\mathbf{n}_z — орт декартовой координаты z), ось x определяет направление движения плоской капиллярной волны $\sim \exp(st + ikx)$, а плоскость $z = 0$ совпадает со свободной невозмущенной поверхностью жидкости (s — комплексная частота, k — волновое число, t — время, i — мнимая единица). Пусть функция $\xi(x, t) = \xi_0 \exp(st + ikx)$ описывает малое возмущение равновесной плоской поверхности жидкости, вызванное тепловым капиллярным волновым движением весьма малой ($\xi_0 \sim (kT/\gamma)^{1/2}$) амплитуды; k — постоянная Больцмана; T — абсолютная температура. Поле скоростей $\mathbf{U}(\mathbf{r}, t)$ движения жидкости, вызванное возмущением $\xi(x, t)$, имеет тот же порядок малости.

Современные представления о природе расклинивающего давления не имеют строгого теоретического обоснования и не допускают универсального аналитического описания феномена. Претендуя лишь на качественную оценку степени влияния этого явления на НТФ, ограничимся рамками модели расклинивающего давления, которое на возмущенной поверхности $\xi(x, t)$ связано с толщиной деформированного слоя зависимостью

$$P_d = \frac{A}{(d + \xi)^3},$$

что соответствует теоретической модели [5]. Значение константы $A \simeq 10^{-13}$ erg определено лишь по порядку величины. Для линеаризации задачи следует использо-

вать линейное по ξ разложение P_d в окрестности $z = 0$

$$z = 0: \quad P_d = P_{d0} + P_{d1},$$

$$P_d = \frac{A}{d^3}, \quad P_{d1} = -\frac{3A}{d^4}\xi. \quad (1)$$

Линеаризованная система уравнений гидродинамики вязкой жидкости имеет вид

$$\frac{\partial \mathbf{U}}{\partial t} = -\frac{1}{\rho} \nabla P(\mathbf{U}) + \nu \Delta \mathbf{U} + \mathbf{g}, \quad \text{div } \mathbf{U} = 0, \quad (2), (3)$$

$$z = -d: \quad \mathbf{U} = 0, \quad (4)$$

$$z = 0: \quad -\frac{\partial \xi(x, t)}{\partial t} + U_z = 0, \quad (5)$$

$$\mathbf{n}(\boldsymbol{\tau} \nabla) \mathbf{U} + \boldsymbol{\tau}(\mathbf{n} \nabla) \mathbf{U} = 0, \quad (6)$$

$$-P(\mathbf{U}) + \rho g \xi + 2\rho \nu \mathbf{n}(\mathbf{n} \nabla) \mathbf{U} - P_{d1}(\xi) - P_E(\xi) + P_\sigma(\xi) = 0, \quad (7)$$

где $P(\mathbf{U})$, $P_E(\xi)$, $P_\sigma(\xi)$ — добавки к гидростатическому, электростатическому и давлению сил поверхностного натяжения, вызванные возмущением поверхности ξ , имеющие первый порядок малости по ξ [10,11]; P_{d1} определено (1); \mathbf{n} и $\boldsymbol{\tau}$ — единичные вектора нормали и касательной к поверхности жидкости.

Электрические потенциалы в жидкости Φ_1 и во внешней среде Φ_2 удовлетворяют уравнениям Лапласа

$$\Delta \Phi_i = 0 \quad (i = 1, 2) \quad (8)$$

с граничными условиями

$$z = -d: \quad \Phi_1 = 0, \quad (9)$$

$$z = b: \quad \Phi_2 = V, \quad (10)$$

$$z = \xi: \quad \Phi_1 = \Phi_2. \quad (11)$$

2. Решение задачи проводилось способом, подробно изложенным в [10], — разделение поля скоростей $\mathbf{U} = \mathbf{U}(\mathbf{r}, t)$ на две компоненты: потенциальную (с потенциалом скоростей $\varphi(\mathbf{r}, t)$) и вихревую (описываемую функцией тока $\Psi(\mathbf{r}, t)$)

$$U_x = \frac{\partial \varphi}{\partial x} - \frac{\partial \Psi}{\partial z}, \quad (12)$$

$$U_z = \frac{\partial \varphi}{\partial z} + \frac{\partial \Psi}{\partial x}. \quad (13)$$

В итоге получают скалярные уравнения относительно φ и Ψ

$$\frac{\partial \Psi}{\partial t} - \nu \Delta \Psi = 0, \quad (14)$$

$$\Delta \varphi = 0 \quad (15)$$

и выражение для $P(\mathbf{r}, t)$

$$P(\mathbf{U}) = -\rho \frac{\partial \varphi}{\partial t} - \rho g z. \quad (16)$$

Подстановка (12), (13) в (2)–(7) приводит к граничным условиям относительно φ и Ψ

$$z = -d: \quad \frac{\partial \varphi}{\partial x} - \frac{\partial \Psi}{\partial z} = 0, \quad (17)$$

$$\frac{\partial \varphi}{\partial z} + \frac{\partial \Psi}{\partial x} = 0, \quad (18)$$

$$z = 0: \quad \frac{\partial \xi}{\partial t} = \frac{\partial \varphi}{\partial z} + \frac{\partial \Psi}{\partial x}, \quad (19)$$

$$2 \frac{\partial^2 \varphi}{\partial x \partial z} + \frac{\partial^2 \Psi}{\partial x^2} - \frac{\partial^2 \Psi}{\partial z^2} = 0; \quad (20)$$

$$\rho \frac{\partial \varphi}{\partial t} + \rho g \xi + 2\rho \nu \left\{ \frac{\partial^2 \varphi}{\partial z^2} - \frac{\partial^2 \Psi}{\partial x \partial z} \right\} - P_{d1}(\xi) - P_E(\xi) + P_\sigma(\xi) = 0. \quad (21)$$

Система уравнений (14)–(16) с граничными условиями (17)–(21) представляет гидродинамическую часть задачи в скаляризованном виде. Электрическая часть задачи (8)–(11) решается методами классической электродинамики, и несложно показать [12], что

$$P_E(\xi) = W k \xi \text{cth}(kb), \quad W = \frac{\varepsilon E_0^2}{4\pi}, \quad E_0 \equiv V/b.$$

Параметр W пропорционален поверхностной плотности заряда на невозмущенной поверхности. Выражение для добавки к давлению сил поверхностного натяжения P_σ имеет в линейном по ξ приближении вид [10]

$$P_\sigma(\xi) \approx -\sigma \frac{\partial^2 \xi}{\partial x^2}.$$

3. Ограниченные, периодические по x решения системы (14), (15) в выбранной системе координат будем искать в форме

$$\varphi = (C_1 \text{sh}(mz) + C_2 \text{ch}(mz)) \exp(st - ikx), \quad (22)$$

$$\Psi = (C_3 \text{sh}(qz) + C_4 \text{ch}(qz)) \exp(st - ikx), \quad (23)$$

где C_1, C_2, C_3, C_4, s — комплексные величины.

Подстановка (22), (23) в граничные условия (17)–(21) приводит к однородной системе пяти линейных алгебраических уравнений относительно неизвестных констант $C_1, C_2, C_3, C_4, \xi_0$

$$GC_1 + 2\rho \nu q C_3 + F \xi_0 = 0,$$

$$2\rho \nu k C_2 + GC_4 = 0,$$

$$-C_1 \text{sh}(kd) + C_2 \text{ch}(kd) - C_3 \text{sh}(qd) + C_4 \text{ch}(qd) = 0,$$

$$k C_1 \text{ch}(kd) - k C_2 \text{sh}(kd) + q C_3 \text{ch}(qd) - q C_4 \text{sh}(qd) = 0,$$

$$C_2 + C_4 - s \xi_0 = 0,$$

где

$$G \equiv \frac{\rho \nu}{k} (k^2 + q^2), \quad q^2 \equiv k^2 + s/\nu,$$

$$F \equiv \rho g + \frac{3A}{d^4} + \gamma k^2 - W k \text{cth}(kb).$$

Необходимым и достаточным условием существования нетривиального решения полученной системы уравнений является равенство нулю ее определителя, составленного из коэффициентов, стоящих при искомым величинах C_i и ξ_0 ,

$$\begin{vmatrix} G & 0 & 2\rho\nu q & 0 & F \\ 0 & 2\rho\nu q & 0 & G & 0 \\ -\text{sh}(kd) & \text{ch}(kd) & -\text{sh}(qd) & \text{ch}(qd) & 0 \\ k \text{ch}(kd) & -k \text{sh}(kd) & q \text{ch}(qd) & -q \text{sh}(qd) & 0 \\ 0 & 1 & 0 & 1 & -s \end{vmatrix} = 0.$$

Это условие дает дисперсионное отношение для спектра капиллярных движений жидкости в анализируемой системе, которое в безразмерных переменных, в которых $\rho = \gamma = d = 1$, имеет вид

$$\begin{aligned} &4qk^2(k^2 + q^2) + (k^2 + q^2)^2 \\ &\times (k \text{sh}(k) \text{sh}(q) - q \text{ch}(k) \text{ch}(q)) \\ &+ 4k^3 q(q \text{sh}(k) \text{sh}(q) - k \text{ch}(k) \text{ch}(q)) \\ &- \frac{Z(k, W)}{\nu^2} (q \text{ch}(q) \text{sh}(k) - k \text{ch}(k) \text{sh}(q)) = 0, \\ &q^2 \equiv k^2 + s/\nu, \\ &Z(k, W) \equiv kg + 3Ak + k^3 W k^2 \text{cth}(kb). \end{aligned} \quad (24)$$

Здесь за всеми безразмерными величинами, измеряемыми в единицах своих характерных масштабов, $g_* = \gamma/\rho d$, $A_* = \gamma d$, $\nu_* = \sqrt{\gamma d/\rho}$, $k_* = 1/d$, $s_* = \sqrt{\rho d/\gamma}$, $W_* = \gamma/d$, $b_* = d$ сохранены прежние обозначения.

4. Уравнение (24) отличается от дисперсионного уравнения подобной же задачи без учета расклинивающего давления [12] лишь определением параметра $Z(k, W)$, и несложно заметить, что ему присущи многие аналогичные свойства. Так, из свойств гиперболических функций [13,14] следует, что если (k, q) — решение (22), то $(k, -q)$ и (k, q) — также решения (24) (q — величина, комплексно сопряженная q). Простейшими очевидными решениями (24) являются $s = 0$ ($q = k$) и $s = -\nu k^2$ ($q = 0$). Все решения дисперсионного уравнения (24) определены на верхнем листе римановой поверхности и теоретически могут быть наблюдаемы.

5. Критерием проявления НТФ системы является условие $Z(k, W) < 0$ [10,11]

$$Z(k, W) \equiv kg + 3Ak + k^3 - Wk^2 \text{cht}(kb) < 0.$$

Очевидно, уравнение $Z(k, W) = 0$ описывает в координатах (k, W) границу между устойчивыми ($Z(k, W) \geq 0$) и неустойчивыми ($Z(k, W) < 0$) состояниями системы. На рис. 1 и 2 представлены кривые, соответствующие границе устойчивости при различных значениях расстояния до верхнего электрода b соответственно с учетом и без учета расклинивающего давления. Видно, что при длине волны $\lambda < 10d$ критические условия практически

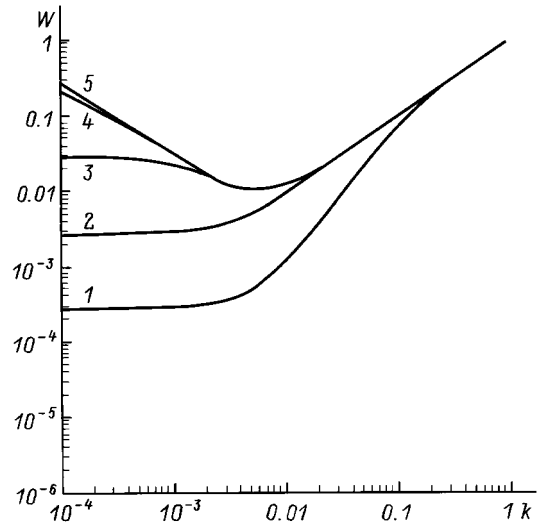


Рис. 1. Граница устойчивости заряженной свободной поверхности жидкости ($Z(k, W) = 0$) при учете флуктуационных сил: $A = 10^{-5}$, $g = 10^{-9}$; b : 1 — 10, 2 — 10^2 , 3 — 10^3 , 4 — 10^4 , 5 — 10^5 .

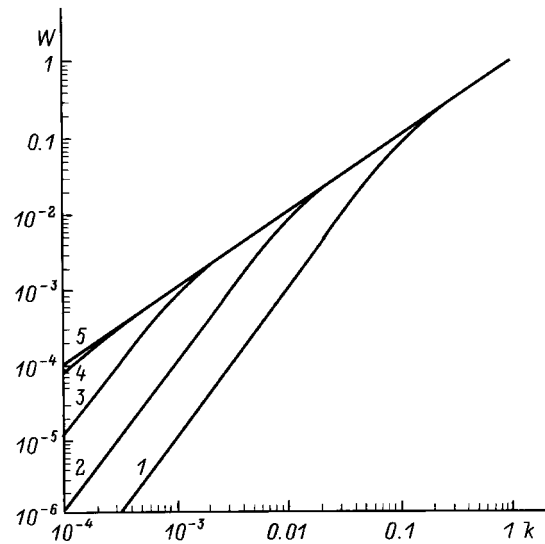


Рис. 2. Граница устойчивости заряженной свободной поверхности жидкости ($Z(k, W) = 0$) без учета флуктуационных сил при $g = 10^{-9}$: 1–5 — то же, что и на рис. 1.

не зависят от флуктуационных сил. Наличие расклинивающего давления существенно сказывается на критических условиях неустойчивости свободной поверхности лишь в области длин волн, значительно превышающих толщину пленки, но именно в этом случае, как видно из рисунков, критические условия в представленной постановке оказываются в сильной зависимости от геометрии системы, характеризуемой безразмерным параметром b . Из рис. 1 и 2 следует, что в рассмотренных ситуациях влияние флуктуационных сил на критические условия НТФ следует исследовать при значениях волновых чисел $k < 0.01$.

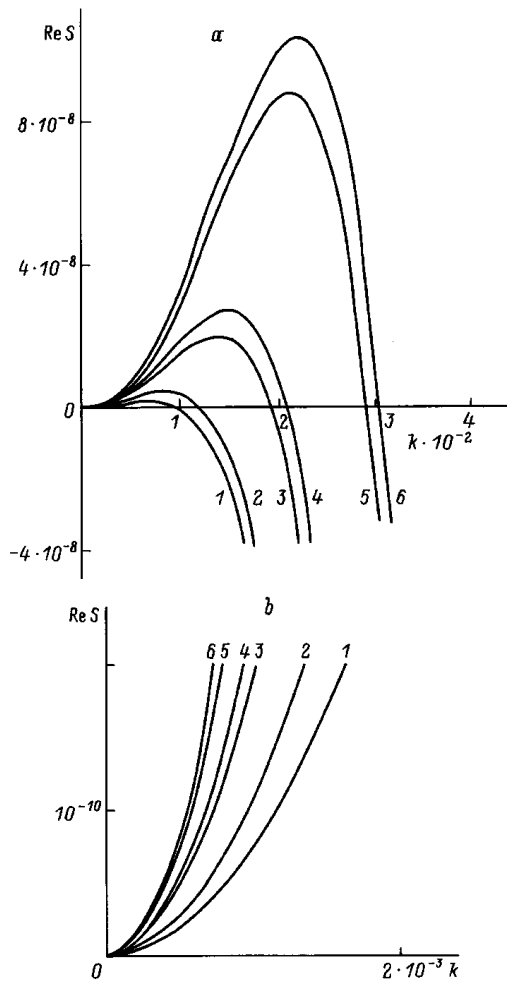


Рис. 3. Зависимости вещественной компоненты безразмерной частоты $\text{Re } s$ от безразмерного волнового числа k при $\nu = 0.3$, $b = 100$, $A = 10^{-5}$, $g = 10^{-9}$, W : 1, 2 — 10^{-2} ; 3, 4 — $2 \cdot 10^{-2}$; 5, 6 — $3 \cdot 10^{-2}$; *a* — в малом масштабе, *b* — левая часть в большем масштабе.

Для качественного исследования влияния расклинивающего давления на неустойчивость тонких пленок представляет интерес рассмотреть две ситуации: когда длина возбуждаемой волны сравнима с расстоянием до верхнего электрода $\lambda \simeq b$ и случай $b \gg \lambda$. При $k \simeq 0.01$ для моделирования этих двух ситуаций выбирались значения $b = 10^2$ и 10^5 соответственно. Результаты численного исследования уравнения (24) представлены на рис. 3 и 4 в виде зависимостей действительной части безразмерной частоты $\text{Re } s$ от безразмерного волнового числа k при различных значениях параметра W . Ветви капиллярных движений, приведенные на этих рисунках, характеризуют поведение корней дисперсионного уравнения (24), связанных с апериодической неустойчивостью жидкой пленки. Ветви с нечетными номерами рассчитаны при существенном вкладе флуктуационных сил; а с четными — в отсутствие влияния таковых ($A = 0$). Рис. 3 и 4 позволяют сравнить характер влияния расклинивающего давления на НФТ при $b = 100$ и 10^5 .

Из рисунков видно, что в обоих случаях учет флуктуационных сил приводит к уменьшению интервала волновых чисел неустойчивых длин волн со стороны больших k на величину, определяемую параметром W . Волновое число наиболее неустойчивой длины волны при учете расклинивающего давления уменьшается, что особенно заметно для ветвей 1 и 2 на рис. 3, 4, которые построены при меньших значениях W . Заметно снижается и максимальное значение инкремента неустойчивости.

Рис. 3, *b* и 4, *a* показывают в более крупном масштабе левую часть рис. 3, *a* и 4, *a* соответственно, демонстрируя, что учет расклинивающего давления в системе с параметром $b \gg \lambda$ ограничивает диапазон k неустойчи-

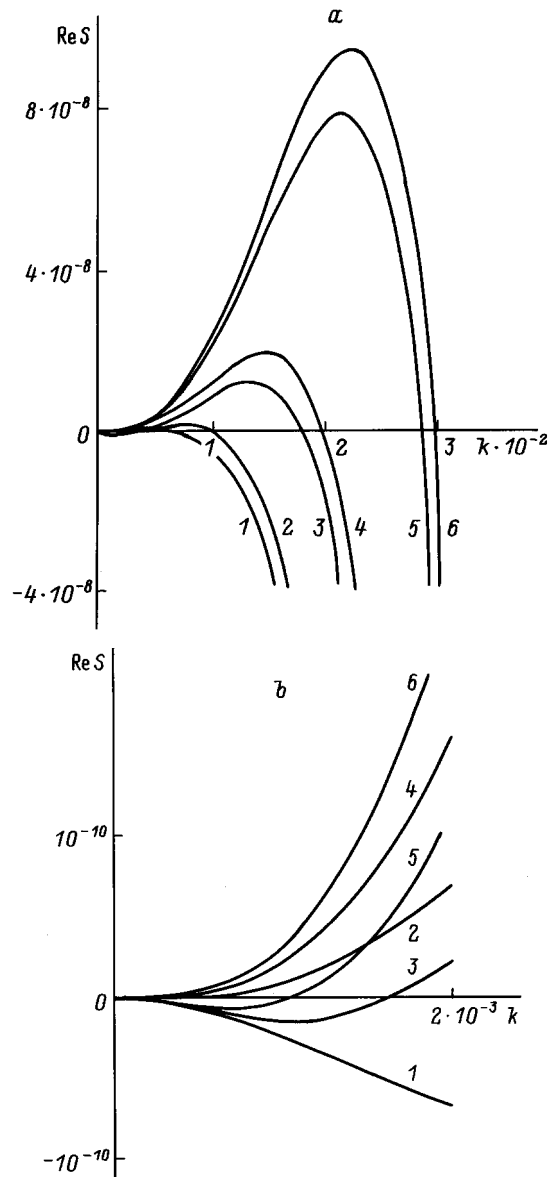


Рис. 4. Зависимости вещественной компоненты безразмерной частоты $\text{Re } s$ от безразмерного волнового числа k при $b = 10^5$, $A = 10^{-5}$. Остальные параметры те же, что и на рис. 3; *a* — в малом масштабе, *b* — левая часть *a* в большем масштабе.

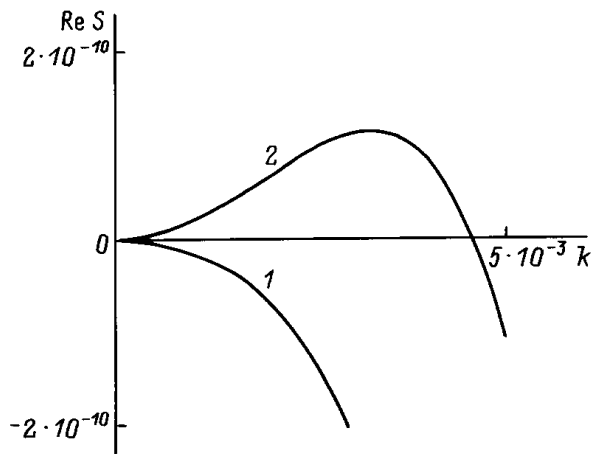


Рис. 5. Зависимости вещественной компоненты безразмерной частоты $\text{Re } s$ от безразмерного волнового числа k с учетом (1) и без учета (2) флуктуационных сил при $\nu = 0.3$, $b = 100$, $A = 10^{-5}$, $g = 10^{-9}$, $W = 2 \cdot 10^{-3}$.

вых длин волн еще и со стороны малых волновых чисел. Это ограничение особенно заметно при $W = 2 \cdot 10^{-2}$ (ветвь 3 на рис. 4, а). При $W \leq 10^{-2}$ в системе с $b \gg \lambda$ благодаря флуктуационным силам движения жидкой пленки устойчивы во всем диапазоне значений k (рис. 1, 4, а и б). Подобный результат уже упоминался в работе [7], в которой, однако, не учитывалось влияние расклинивающего давления, а описываемый эффект обуславливался наличием в определении $Z(k, W)$ слагаемого gk , учитывающего влияние поля сил тяжести. Однако при выбранном безразмеривании для реальных жидкостей безразмерное значение $g \simeq 10^{-9}$ на несколько порядков меньше безразмерного значения параметра $A = 10^{-5}$, тогда как в определении $Z(k, W)$ из (24) входит сумма $kg + kA$. Можно заключить, что эффекты, вызываемые в "толстых" пленках (в которых можно пренебрегать флуктуационными силами) полем g , имеют свои аналоги в случае тонких пленок, но обусловленные уже не гравитационными, а флуктуационными силами. Поэтому волновое движение в тонких пленках правильнее называть флуктуационно-капиллярным и говорить о неустойчивости флуктуационно-капиллярных волн, как в случае гравитационно-капиллярных аналогов.

Из рис. 1 можно заключить, что при $W = 2 \cdot 10^{-3}$ и $\lambda \simeq b$ флуктуационные силы также могут обеспечить устойчивость движения в рассматриваемой системе при всех возможных значениях волновых чисел в отличие от ситуации, когда влиянием расклинивающего давления пренебрегается. Этот вывод подтверждается численными расчетами по уравнению (24), представленными на рис. 5. При указанном значении W и учете расклинивающего давления наблюдаются лишь апериодические движения (ветвь 2), в то время как отсутствие флуктуационных сил приводило бы к апериодической неустойчивости (ветвь 1).

Заключение

Флуктуационные силы оказывают значительное влияние на устойчивость и капиллярные движения жидкости с длиной волны $\lambda \gg d$ на заряженной поверхности жидкой пленки толщины $d \leq 100$ nm. Характер проявления такого влияния зависит от величины безразмерного параметра b . При $b \simeq \lambda$ и фиксированном W влияние расклинивающего давления проявляется в снижении критического значения k , при котором движение в системе становится устойчивым, уменьшении значения k , соответствующего наиболее неустойчивой длине волны, снижении максимальной величины инкремента неустойчивости. Если $b \gg \lambda$ в дополнение к указанным эффектам, то наблюдается ограничение диапазона значений k неустойчивых гармоник со стороны весьма малых волновых чисел. Флуктуационные силы обеспечивают устойчивость капиллярных движений в жидкой пленке при значениях параметра $W \leq 10^{-2}$ в случае $\lambda \ll d$ и при $W \leq 10^{-3}$, когда $b \simeq \lambda$. Движение жидкости в тонких пленках следует считать флуктуационно-капиллярным. Феномен флуктуационно-капиллярного движения допускает аналогию с гравитационно-капиллярными явлениями.

Список литературы

- [1] Габович М.Д. // УФН. 1983. Т. 140. № 1. С. 137–151.
- [2] Bailey A.G. // Atomisation and Spray Technology. 1986. Vol. 2. P. 95–134.
- [3] Григорьев А.И., Ширяева С.О. // Изв. РАН. МЖГ. 1994. № 3. С. 3–22.
- [4] Дерягин Б.В. Теория устойчивости коллоидов и тонких пленок. М.: Наука, 1986. 205 с.
- [5] Френкель Я.И. Кинетическая теория жидкости. Л.: Наука, 1975. 592 с.
- [6] He J., Miskovsky N.M., Citler P.H., Chung M. // J. Appl. Phys. 1990. Vol. 68. N 4. С. 1475–1482.
- [7] Surgy N.C., Chabrerie J.-P., Denoux O., Wesfreid J.E. // J. Phys. II France. 1993. Vol. 3. N 8. P. 1201–1225.
- [8] Grigor'ev A.I., Mucichev M.I., Shiryayeva S.O. // J. Coll. Int. Sci. 1994. N 166. P. 267–274.
- [9] Лазаряц А.Э., Григорьев А.И. // ЖТФ. 1990. Т. 60. Вып. 6. С. 29–36.
- [10] Левич В.Г. Физико-химическая гидродинамика. М.: Физматгиз, 1959. 699 с.
- [11] Ландау Л.Д., Лифшиц Е.М. Электродинамика сплошных сред. М.: Наука, 1992. 661 с.
- [12] Белоножко Д.Ф., Григорьев А.И., Муничев М.И., Ширяева С.О. // Письма в ЖТФ. 1996. Т. 22. Вып. 10. С. 84–89.
- [13] Бронштейн И.Н., Семендяев К.А. Справочник по математике для инженеров и учащихся втузов. М.: Наука, 1980. 976 с.
- [14] Григорьев А.И., Григорьев О.А., Ширяева С.О. // ЖТФ. 1992. Т. 62. Вып. 9. С. 12–21.